



F-9031.- Los relieves blancos pertenecen a la Unidad Tectónica (U.T.), los más rojizos a la Unidad Olistostrómica (U.O.).

F-9032.- Idem a F-9031. Los relieves calcáreos pertenecen a bloques de calizas jurásicas.





F-9035.- Contacto entre los sedimentos de edad Pleistoceno y el glacis de colmatación de la cuenca (G_1).



F-9036.- Contacto entre los sedimentos lacustres (F. Baza) encima, y los fluviales y fluviolacustres (F. Guadix) debajo.



F-9037.- Canal dentro de los sedimentos fluvio-lacustres (F. Guadix).



F-9038.- Sucesión de arcillas blancas, grises y asalmonadas de carácter fluviolacustre (29).



F-9039.- Contacto del glacis (G_1) de primera generación, sobre los sedimentos fluvio-lacustres.



F-9040.- Detalle de las facies del glacis (G_1), antes reseñado.



F-9045.- En primer plano llanura de inundación del río Guadiana Menor, en segundo plano terraza sobre sedimentos de edad Turoliense.



F-9047.- La mitad derecha de la foto corresponde a los sedimentos del relleno de la cuenca de edades comprendidas entre el Turolense y el Holoceno (glacis G₁). Bajo ellos la Unidad Tectónica.



F-9049.- Detalle del contacto entre los sedimentos antes mencionados y la U.O. o bien la U.T.



F-9050.- Huellas de presión/disolución en cantes carbonatados, pertenecientes al Turoliense.



F-9054.- Alternancia de margas y areniscas calcáreas de edad Tortoniense superior.



F-9055.- Detalle de la anterior, los cambios en el buzamiento se deben a discordancias internas producidas durante la sedimentación.



F-9056.- Facies características en primer plano (de las fotos anteriores, 9054 y 9055).



F-9059.- Secuencia grano-creciente perteneciente al Tortoniense superior.



F-9062.- Conglomerados, arenas y limos (abanicos aluviales adosados al río Alicún).

F-9063.- Dinámica fluvial y de vertientes del río Alicún.





F-9068.- Facies de margas blancas con niveles de areniscas, pertenecientes al Tortoniense superior.



F-9070.- Alternancia de margas, margocalizas y rocas volcánicas del Dogger-Malm.



F-9078.- En primer plano calcarenitas bioclásticas sobre la U.O.; al fondo sedimentos fluviales (25).



F-9079.- Detalle de la anterior, en donde se observan los clastos de elementos triásicos incrustados en las calcarenitas.



F-9081.- Contacto entre el glacis (G_2) y las margas del Tortoniense superior.

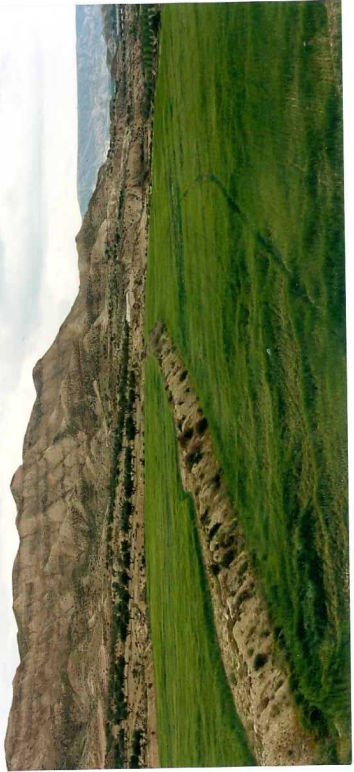


F-9082.- Foto panorámica del Cerro de La Lancha, calcarenitas sobre margas blancas (Tortoniense sup.).



F-9083.- Niveles de areniscas con restos de fauna marina, intercalados entre los sedimentos fluviales (26).

F-9086.- Panorámica de la F-9083.





F-9087.- Facies de borde de la cuenca marina de edad Tortoniense superior. Calcareitas, brechas y conglomerados (23).

F-9093.- Detalle de la anterior.





F-9094.- A la derecha de la rambla, materiales muy tectonizados del borde de cuenca, a la izquierda margas del Tortoniano superior y encima sedimentos fluviales.



F-9095.- Panorámica de la F-9094. Los sedimentos fluviales muestran una morfología de megacanal.



F-9096.- Tránsito entre los sedimentos marinos (calcarenitas del Tortoniense sup.) y los sedimentos continentales (conglomerados y arcillas del Turoliense).



F-9101.- La superficie alabeada corresponde a yesos con intercalaciones de limos, arcillas y carbonatos (30).



F-9102.- A la izquierda secuencia mencionada en F-9101.



F-9103.- Contacto entre la unidad 30 (a techo) y las arcillas grises del Turolense (26).

F-9104.- Otro sector equivalente al expresado para la F-9096.
NO APPARECE EN RCC-1





F-9107.- Contacto entre las calcarenitas y la U. Tectónica. Obsérvense los clastos de margas blancas inmersos en las calcarenitas, que proceden de la unidad infrayacente.



F-9112.- Abanico aluvial de Villanueva de las Torres (25).



F-9113.- Contacto entre las unidades 26 y 29 (arcillas grises y arcillas asalmonadas respectivamente).



F-9118.- Estructuras de flujo en sedimentos fluviales (26).



F-9119.- Sedimentos fluviales: arcillas y conglomerados alternantes (26).



F-9120.- Tránsito entre las facies fluviales (26) y las lacustres (28), en las inmediaciones de los Baños de Alicún de las Torres.

F-9121.- Detalle de la F-9120.





F-9124.- Discordancia entre los conglomerados fluviales (26) y las margas y margocalizas asalmoneadas del Paleoceno (11).



F-9130.- Fractura en los conglomerados de Villanueva de las Torres.



F-9131.- Detalle de la anterior. En los cantos se observan huellas de presión/disolución.



F-9137.- Discordancia entre los materiales de edad Turoliense y el glacis de segunda generación (34).



F-9138.- Sedimentos fluviales del borde sur de la cuenca (31).



F-9139.- Idem F-9138. Al fondo Freila y el embalse del Negratín.



F-9144.- Contacto entre los conglomerados (25) y las arcillas y margocalizas lacustres (32).